

骨組構造物の最適形状設計に関する一考察

熊本大学工学部 正員 小林一郎
 熊本大学大学院 学生員 ○西野豊浩
 熊本大学工学部 正員 三池亮次

1.はじめに 構造物の部材断面(Sizing)の最適解だけでなく、最適形状(optimal configuration, geometry)を自動的に得ようとする研究も、最適設計における主要課題の一つである。最近では、Saka²等の直接剛性法を用いた研究が多く発表されている。わが国では、節点を設計変数とするピン結合トラスの最適設計定式化についての大久保³の研究がある。また、接続マトリックスを用いた定式化としては、吉本³の報告がある。接続マトリックスを用いると、剛結骨組構造における座標を設計変数とする最適形状設計の定式化が組織的になって容易であり、この解式は、大久保によるピン結合トラスの最適形状設計の基礎式を一般化したものとなっている。本報告では設計変数、制約条件の違いによる骨組構造物の最適形状の相異を検討する。

2.感度係数 接続マトリックスを用いると、SLP法で必要となる感度係数の算出が、マトリックス演算のみで処理することが可能である。外力Pと部材端断面力P_mは、次のように陽形式に結びつけられる。

$$P = C P_m \quad \dots \dots \dots (1), \quad P_m = K_m C^t (C K_m C^t)^{-1} P = K_m C^t G^{-1} P = A P \quad \dots \dots \dots (2)$$

ただし、Cは接続マトリックス、K_mは剛性マトリックスである。また、内部応力度σ_mとP_mの間に $\sigma_m = D_m P_m$ なる関係があるものとすれば、設計変数Xによる内部応力度の感度係数は次式の様に求められる。

$$\begin{aligned} \frac{\partial \sigma_m}{\partial X} &= \frac{\partial D_m}{\partial X} P_m + D_m \frac{\partial P_m}{\partial X} \\ &= \frac{\partial D_m}{\partial X} P_m + D_m (\mathbb{I} - A C) \frac{\partial K_m}{\partial X} C^t G^{-1} P + D_m \{B' - A(B + B^t)\} G^{-1} P \quad \dots \dots \dots (3) \end{aligned}$$

$$\text{こゝに}, \quad B = C B' = C K_m \left(\frac{\partial C}{\partial X}\right)^t, \quad \mathbb{I} = \text{単位マトリックス}$$

式(3)は、一般式であり、剛結骨組構造にも適用できる。なお、設計変数Xとしては、節点座標であるとも部材断面に関するものである、ともいひが、後者の場合は、式(3)の右辺第3項は0となる。

3.設計変数と制約条件 部材断面に関する設計変数としては、次の2ケースとした。ただし、tは最小回転半径であり、部材幅fは全部材でひとつの変数とする。

Case. 1: 断面積A_i, 細長比ι_i $(i = 1, 2, \dots, m)$

Case. 2: 断面積A_i, 細長比ι_i, 断面係数C_f(i)(= h/2r), 部材幅f $(i = 1, 2, \dots, m)$

ただし、mは部材の総数である。また、制約条件は、極力、道路橋示方書(55年版)に従うものとする。

Case. 1: (a) 応力制限 $\sigma_{ca} \leq \sigma \leq \sigma_{ta}$ $\dots \dots \dots (4)$
 ただし、 σ_{ca} , σ_{ta} は圧縮, 引張の許容応力度

(b) 細長比制限 $\lambda_i \leq \lambda \leq 120 \text{ or } 200$ $\dots \dots \dots (5)$
 ただし、 λ_i は面外座屈防止の係数より求められる定数

Case. 2: 上記の条件に下記の条件を加える。

(c) 枚厚制限 $t_1 \geq 0.8 \text{ cm}$, $t_2 \geq 0.8 \text{ cm}$ $\dots \dots \dots (6)$
 ただし、 t_1 ; フランジの枚厚
 t_2 ; ウェブの枚厚

なお、目的関数は体積最小である。

4. 数値解析例 図-1の6ペネル平行弦ワーレントラスについて、前記の2つのケースの解析を行なった。ただし、荷重は $P_1 = 51.163 \text{ ton}$, $P_2 = 72.497 \text{ ton}$ を与え、鋼材はSS41を使用し、 $\sigma_{ya} = 1400 \text{ kg/cm}^2$ である。断面型は、斜材のうち引張材のみをH型とし、他は箱型とする。

(1) 部材断面の最適設計 表-1は、主構高 $H = 9 \text{ m}$ のときの最適解

である。表中、*印は、式(4)～(6)の制約条件の上限を示す。

たは下限の値になつていることを示す。主構重量は、

Case 1 では $W^{opt} = 15.37 \text{ ton}$, Case 2 では $W^{opt} = 19.27 \text{ ton}$

となり、前者に比べ後者は 25% 程度大きい。これは、

(i) Case 1 では、全部材が全応力設計になつているの

に対し、Case 2 では、細長比制限及び板厚制限のため

全応力にならない部材(②, ③, ⑦)が存在する。(ii) 壓縮

部材の許容応力度 σ_{ya} が細長比入の関数となつてあり、

かつ Case 1 と Case 2 の細長比の下限の値が異なるため、全応力となる断面積 A が異

なるべくなるためである。なお、部材④が正方形等厚な断面となり、最適断面幅は $b^{opt} = 36.8 \text{ cm}$ となつた。図-2は、図-1の主構高 H を変化させて解析を行ない、それ

ぞれの最適重量 W^{opt} をプロットしたものである。Case 1 では最適主構高 $H^{opt} = 12 \text{ m}$

であるに対し、Case 2 では $H^{opt} = 9 \text{ m}$ である。

(2) 最適骨組形状設計 図-1において、次の2つのモデルを考え、それぞれ Case 1 と Case 2 について解析する。

Model. 1; 設計変数として、節点2, 4, 6のY座標を追加する。

Model. 2; 設計変数として、節点2, 4, 6のX・Y座標を追加する。

図-3は、最適骨組形状である。Case 1 では、主構高が高く、斜材がすべて引張部材となり、初期形状とは異質の構造となる。Case 2 では、実橋に近い曲弦トラスになる。これは、解析例(1)で述べた様に、前者は全応力設計になつていて、後者では必ずしもそうならないためである。したがるに、最適骨組形状設計において、実橋をモデルとする際には、制約条件として、細長比・板厚等を考慮する必要があつう。

表-2は、model. 1, model. 2 および解析例(1)の H^{opt} の時の主構重量を比較したものである。model. 1 と model. 2 とは、主構重量に大差がなく、トラス橋の最適骨組形状設計においては、Y座標を設計変数として追加するだけ十分だと思われる。また、Case 2 において、model. 1 の主構重量と H^{opt} のそれを比較した場合、後者が前者より 3% 程度大きいだけである。つまり、ワーレントラスの最適骨組形状は、節点座標を設計変数とするまでもなく、 H^{opt} で決まる。

表-2. 主構重量 W^{opt} の比較 (ton)

定してもよいと思われる。詳細

	MODEL. 1	MODEL. 2	(H^{opt})
CASE. 1	10.07	9.61	14.66
CASE. 2	18.76	18.30	19.29

参考文献 1) Saka, M.P. 「Shape Optimization of Trusses」 ASCE, ST5, 1980

2) 大久保 慎二 「トラス構造物の最適設計法に関する研究」 土木学会論文報告集, 第177号, 1970年

3) 吉本, 三池 「接続マトリックスによる剛結を考慮した骨組構造物の最適設計」 熊大研究報告, 第25巻2号, 1976年

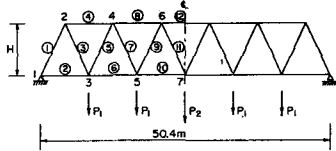


図-1. 解析モデル

表-1. 部材断面の最適結果

部材	断面積 A (cm ²)	細長比入	CASE. 2		板厚 (cm)	部材高 h (cm)
			t_1	t_2		
1	*112.2	*147.2	* 24.4	* 63.0	* 0.8	1.1
2	* 46.2	73.3	* 200.0	* 200.0	* 0.8	* 0.8
3	*109.2	*109.2	* 200.0	* 200.0	1.8	* 0.8
4	* 94.9	*117.7	* 24.4	* 55.9	* 0.8	* 0.8
5	* 70.8	*106.8	* 24.4	79.2	* 0.8	* 0.8
6	*121.5	*121.5	* 200.0	* 200.0	* 0.8	2.9
7	* 68.9	* 68.9	* 200.0	* 200.0	0.9	* 0.8
8	*154.7	*185.6	* 24.4	* 51.4	* 0.8	1.4
9	* 29.3	89.0	* 24.4	* 120.0	* 0.8	* 0.8
10	*162.7	*162.7	* 200.0	* 200.0	* 0.8	4.7
11	* 28.6	66.3	* 200.0	* 200.0	* 0.8	* 0.8
12	*179.6	*214.0	* 24.4	* 50.5	* 0.8	1.7

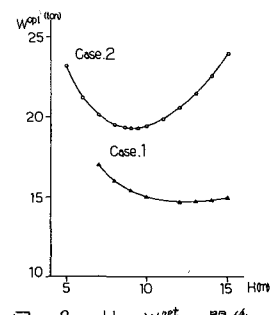
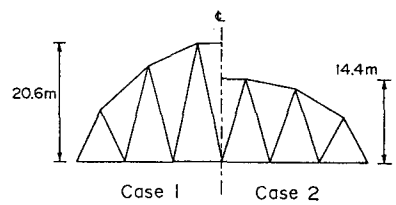
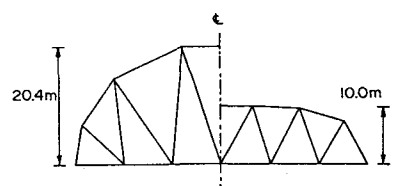


図-2. H と W^{opt} の関係



Model 1



Model 2

図-3. 最適骨組形状